

第 8 章 树及其应用	2
8.1 无向树	2
8.1.1 无向树的定义及性质	2
1) 无向树、平凡树与森林	2
2) 树的等价定理	2
3) 无向树的树叶存在性定理	3
4) 非同构无向树构建	5
8.1.2 生成树	5
1) 生成树及其余树	6
2) 加权图与最小生成树(MST)	6
3) 寻找最小生成树算法-Kruskal 算法	7
8.2 有根树及其应用	8
8.2.1 有根树及其分类	9
1) 根树的定义	9
2) 根树的画法	9
3) 有序树与无序树	10
4) 根树的分类	10
8.2.2 最优树与霍夫曼算法	10
1) 最优二叉树	10
2) 最优二元树构造算法与静态哈夫曼前缀码	10
8.2.3 最优前缀码	11
1) 前缀码与二进制前缀码	11
2) 二叉树与二元前缀码	11
3) 最优前缀码	12
8.2.4 有根树的遍历及其应用	13
1) 二叉树的遍历方法	13
2) 算术表达式二叉树构造规则	13
3) 波兰符号法和逆波兰符号法	14
知识扩展提示词	15
第 8 章主要数学符号列表	15

第 8 章 树及其应用

树是无环连通图，是一种重要的非线性数据结构。树结构主要用于描述具有层次关系的数据组织与管理，如文件目录系统、数据库索引、路由算法与决策模型。树结构也是数据压缩、编码优化、搜索排序与语法分析的核心工具，在网络拓扑、最小生成树、机器学习决策树等实际场景中发挥关键作用，能够高效实现数据的快速查找、动态维护与层次化处理。

8.1 无向树

无向树是一个连通、无环、无向的简单图，有向树是指边具有方向的树，是一个有向图。无向树任意两点之间有且仅有唯一一条简单路径，去掉任意一条边就会不再连通，增加任意一条边就会出现回路。无向树常用于描述层次结构、生成树、数据组织、网络拓扑等场景，是优化、搜索、遍历的重要模型。

8.1.1 无向树的定义及性质

1) 无向树、平凡树与森林

定义 8.1: 无向树、平凡树与森林

若无向图 $G=(V,E)$ 连通且无简单回路（不包含环），则称 G 为一棵无向树。

仅含单个顶点、无边的平凡图称为平凡树。

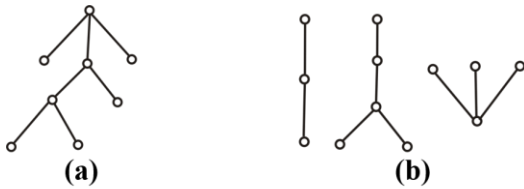
森林是每个连通分支均为无向树的无向图。

非平凡树中度数为 1 的顶点称为树叶。

在非平凡树中，度数 ≥ 2 的顶点称为分支点（内部顶点）。

在无向树中，不存在任何简单回路（即无圈结构），且任意两个不同顶点之间存在且仅存在一条简单路径。若一个无向图不含简单回路且连通分支数大于 1，则其每个连通分支都是一颗树，这些互不相交的树共同构成森林。

例如，图 (a) 是树，图 (b) 是森林。



2) 树的等价定理

定理 8.1: 树的等价刻画定理（六个等价命题）

设 $G=(V,E)$ 是 n 阶无向图，有 m 条边，则以下命题相互等价：

- (1) G 连通且不含圈（即 G 是一棵树）。
- (2) G 中任意两个顶点之间存在唯一的一条路径。
- (3) G 连通，且满足 $m=n-1$ 。
- (4) G 不含圈，且满足 $m=n-1$ 。
- (5) G 不含圈，但在 G 中任意两个不相邻的顶点之间添加一条边，会恰好产生一个简单圈。
- (6) G 连通，并且 G 中每条边都是桥。

证明: 设 $G=(V,E)$ 为 n 阶无向图, m 为边数。

(1) \Rightarrow (2)

由 (1) 知 G 连通且无圈, 任意两顶点之间至少存在一条路径。若某两顶点之间存在两条不同路径, 则这两条路径必构成回路, 与无圈矛盾, 因此(2)成立。

(2) \Rightarrow (3)

由 (2) 知, G 中任意两点间有唯一路径, 显然 G 连通。对顶点数 n 归纳证明 $m=n-1$ 。

$n=1$ 时, $m=0$, 成立。

假设 $n \leq k$ 时 $m=n-1$ 。当 $n=k+1$, 任取一边 $e=(u,v)$, 删除 e 后 G 分成两个连通分支, 设顶点数分别为 n_1, n_2 , 边数分别为 m_1, m_2 。由归纳假设 $m_1 = n_1 - 1$, $m_2 = n_2 - 1$, 于是 $m = m_1 + m_2 + 1 = (n_1 - 1) + (n_2 - 1) + 1 = n - 1$ 故连通且 $m=n-1$, 因此(3)成立。

(3) \Rightarrow (4)

由 (3) 知 G 连通且 $m=n-1$, 只需证 G 无圈。假设 G 含圈, 则删去圈上一边得连通图 G' , 边数 $m' = m - 1 = n - 2$ 。继续去圈直至得到一棵生成树, 其边数必为 $n-1$, 与 $n-2$ 矛盾。因此 G 无圈且 $m=n-1$, (4)成立。

(4) \Rightarrow (5)

由 (4) 知 G 无圈且 $m=n-1$ 。任取两个不相邻顶点 u, v , 加边 (u, v) 。若新图仍无圈, 则边数 $m+1=n$, 与无圈图边数不超过 $n-1$ 矛盾。故必产生圈。若产生两个不同圈, 则去掉新边后 G 中仍有圈, 矛盾。因此恰好产生一个简单圈, (5)成立。

(5) \Rightarrow (6)

由 (5) 知 G 无圈, 且加任意非邻边恰产生一圈。

先证 G 连通: 若 G 不连通, 则在不同分支间加边不会产生圈, 矛盾。

再证每条边都是桥: 任取一边 e , 若 e 不是桥, 则删去 e 仍连通, $G-e$ 无圈。在 $G-e$ 中加回 e 应恰产生一圈, 但原图 G 无圈, 矛盾。故 G 连通且每条边都是桥, (6)成立。

(6) \Rightarrow (1)

由 (5) 知 G 连通且每条边都是桥。若 G 含圈, 则圈上任意一边都不是桥, 与每条边都是桥矛盾。故 G 连通且无圈, 即 G 是树, (1)成立。

至此, 六条命题两两等价, 证明完毕。

树的 6 条等价命题并非“重复定义”, 而是等价刻画。只要满足其中任意一条, 就自动满足全部 6 条, 并且该图一定是树。这 6 条性质将树朴素直观的概念, 转化为一套强大可用的工具。在许多图论证明中, 若仅使用原始定义会极为繁琐, 而选用等价条件中的某一条, 往往一句话即可完成证明。

3) 无向树的树叶存在性定理

树叶存在性定理完善了树的拓扑结构特性, 补充树的等价判定条件, 让树的拓扑特征更完整、判定更严谨, 为后续图论相关推导 (如生成树、边的性质) 提供重要依据, 避免抽象定义带来的理解偏差。

定理 8.2: 无向树的树叶存在性定理

任意一个 n 阶非平凡的无向树 (即顶点数 $n \geq 2$ 的无向树), 至少含有两片树叶 (度数为 1 的顶点)。

证明:

设 T 是 n 阶无向树, $n \geq 2$, 边数为 m 。由树的性质知 $m=n-1$ 。

设 T 的顶点度数依次为 d_1, d_2, \dots, d_n , 由握手定理: $\sum_{i=1}^n d_i = 2m = 2(n-1)$

因为 T 是树且连通、非平凡, 每个顶点度数满足 $d_i \geq 1$ 。假设 T 中至多一片树叶, 即度数为 1 的顶点个数 ≤ 1 , 则至少有 $n-1$ 个顶点度数 ≥ 2 。于是 $\sum_{i=1}^n d_i \geq 1 + 2(n-1) = 2n-1$, 由握手定理 $\sum_{i=1}^n d_i = 2n-2$, 得到 $2n-1 \leq 2n-2$, 矛盾。

因此假设不成立, 即 T 中至少有两个度数为 1 的顶点, 也就是至少有两片树叶。

证毕。

例 8.1: 已知无向树 T 中, 有 1 个 3 度顶点, 2 个 2 度顶点, 其余顶点全是树叶。试求树叶数, 并画出满足要求的非同构的无向树。

解: 设有 x 片树叶, 则顶点数 $n=1+2+x=x+3$, 边数 $m=n-1=x+2$ 。

由握手定理: $\sum d(v) = 3 \times 1 + 2 \times 2 + 1 \times x = x+7$, 又 $\sum d(v) = 2m = 2(x+2)$, 于是 $x+7 = 2x+4$ 解得 $x=3$ 。

即树 T 有 3 片树叶, 顶点总数 $n=6$, 边数 $m=5$, 度序列为: $3, 2, 2, 1, 1, 1$ 。

非同构无向树构造:

树的本质是连通、无圈、边数 = 顶点数 - 1, 构造非同构树的核心的是围绕“度数最高的顶点(分支点)”展开, 通过调整分支连接方式, 区分不同构的树, 避免重复构造。

(1) 梳理度序列, 确定核心参数与分支点

设核心分支顶点 v_0 度数为 3, 2 个 2 度中间分支点为 v_1 和 v_2 , 3 个 1 度树叶是 v_3, v_4 和 v_5 , 总顶点数 $n=6$, 边数 $m=n-1=5$;

(2) 围绕核心分支点, 分配度数连接

核心分支点 v_0 需连接 3 个节点(满足度数要求), 优先分配连接对象(优先连接分支点, 再连接树叶, 避免提前出现环);

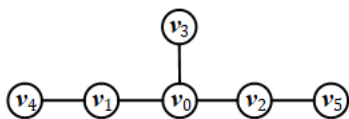
先将 v_0 与 2 个中间分支点 (v_1, v_2 , 度数均为 2) 连接, 此时 v_0 已用 2 个度数, 剩余 1 个度数需连接 1 个树叶(如 v_3);

中间分支点 v_1 已与 v_0 连接(用 1 个度数), 剩余 1 个度数需连接 1 个树叶(如 v_4);

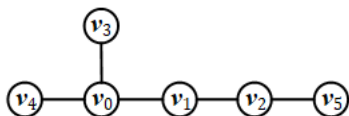
中间分支点 v_2 已与 v_0 连接(用 1 个度数), 剩余 1 个度数需连接最后 1 个树叶(如 v_5)。

(3) 区分非同构情况, 构造不同连接方式

构造 1: v_0 直接连接 v_1, v_2, v_3 ; v_1 连接 v_4 ; v_2 连接 v_5 (2 个中间分支点均直接与核心点连接, 无串联);



构造 2: v_0 直接连接 v_1, v_3, v_4 ; v_1 连接 v_2 ; v_2 连接 v_5 (1 个中间分支点与核心点连接, 另 1 个中间分支点与前者串联, 再连接树叶)。



(4) 验证去重, 确认符合要求

验证每棵树: 均满足“连通、无圈、边数 = 5、度数序列匹配”, 最终得到 2 棵非同构树, 均满足度序列 $(3, 2, 2, 1, 1, 1)$ 的要求。

4) 非同构无向树构建

构建非同构无向树，首先要明确树的顶点数、边数，以及各顶点的度数要求，确保满足树的核心拓扑特性-连通性、无环性，且边数 = 顶点数 - 1。最大度构建法是最有效、最易操作的方法，该方法通过锁定最大度节点（核心分支点），明确不同连接方式的差异，既能契合树的拓扑特性，又能避免构造重复，确保每棵树的拓扑结构唯一。按“分支点数量”分类构建方法，则以度数 ≥ 2 的分支点数量为分类依据，枚举不同数量分支点下的连接方式，保证树满足连通、无环要求，且拓扑结构不重复。按“连接层级”分类构建方法，是以节点连接的层级关系（核心节点直接连接 / 中间节点串联连接）为区分标准，构造不同拓扑层级的树，避免同构重复。

例 8.2: 画出所有 6 阶非同构的无向树。

解: 按最大度构建 6 阶非同构无向树，核心原因的是最大度直接决定树的拓扑结构，是区分不同树结构的关键依据。

设 6 阶无向树为 T ，顶点数 $n=6$ ，则边数 $m=n-1=5$ 。由握手定理，总度数 $\sum_{i=1}^6 d(v_i) = 2m = 10$ 。

枚举所有合法最大度及对应树结构：

当最大度 $\Delta=5$ ，对应度序列为 $(5,1,1,1,1,1)$ ，1 个核心节点（度 5），连接 5 个叶子节点（1 度），仅 1 种结构（星形树），结果如图（1）。

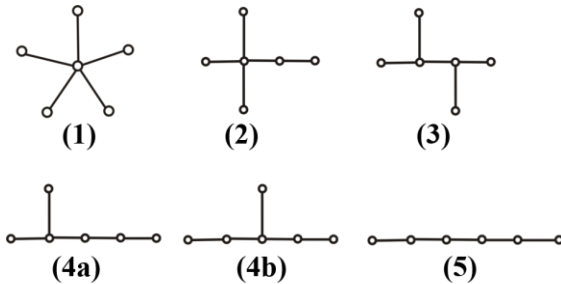
当最大度 $\Delta=4$ ，对应度序列为 $(4,2,1,1,1,1)$ ，核心节点（度 4）连接 1 个 2 度中间节点，再连接叶子，仅 1 种结构，结果如图（2）。

当最大度 $\Delta=3$ （核心节点），对应 2 种结构：

结构 1：度序列 $(3,3,1,1,1,1)$ ，两个 3 度节点串联，各带 1 片叶子，1 种结构，结果如图（3）。

结构 2：度序列 $(3,2,2,1,1,1)$ ，有两种结构，两个 2 度节点串联得到结构图（4a）；两个 2 度节点直接连接核心节点，得到树结构图（4b）。

当最大度 $\Delta=2$ （无高次分支点），对应度序列为 $(2,2,2,2,2,2)$ ，仅 1 种结构（直线链状），得到树结构图（5）。



8.1.2 生成树

生成树满足树的所有核心属性，是树的子类。生成树不能独立存在，必须依附于一个连通图（母图），且包含母图的全部顶点。生成树作为母图的极小连通子图，是树与连通图的桥梁，衔接树的性质与连通图的特点，可广泛用于通信网络、电路连接等设计，能保证网络连通且无冗余（无圈），减少线路和节点冗余。

1) 生成树及其余树

定义 8.2: 生成树

设 $G=(V,E)$ 为无向连通图。

- (1) 若 $T=(V,E_T)$ 是 G 的生成子图, 且 T 为树, 则称 T 是 G 的一棵生成树。
 - (2) 生成树 T 中的边, 称为 T 的树枝。
 - (3) 属于原图 G 、但不属于生成树 T 的边, 称为 T 的弦。
 - (4) 由生成树 T 的全体弦构成的边集所导出的子图, 称为 T 的余树, 记作 \bar{T} 。
- 例如, 图中黑边构成生成树, 红边构成余树。



定理 8.3: 连通图的生成树存在性定理

任何无向连通图都至少存在一棵生成树。

证明: (破圈法)

设 G 为一无向连通图。若 G 中不含圈, 则 G 本身就是一棵生成树。否则, 在 G 中任取一个圈, 并删除该圈上任意一条边, 所得图仍然连通。重复这一过程, 直到图中不再含有圈为止, 最终得到的连通无圈图即为原图 G 的一棵生成树。

推论 1: 边数与度数关联推论

设 G 是 n 阶无向连通图, 且有 m 条边, 则 $m \geq n-1$ 。

边数与度数关联推论强调了连通图必须至少有 $n-1$ 条边, 少于这个边数就不可能连通。生成树是连通图的“最小连通骨架”, 边数恰好为 $n-1$ 。反过来说, 如果一个图连通且边数恰好为 $n-1$, 那它本身就是一棵树, 就是自己的生成树。该推论从边数下界的角度, 再次印证了“连通图一定能找到生成树”的合理性。

推论 2: 生成树与原连通图关联推论

设 G 是 n 阶无向连通图, 且有 m 条边, T 是 G 的一棵生成树, 则 T 的余树中含有 $m-n+1$ 条边。

生成树与原连通图关联推论表明, 原图中比生成树多出的边均为冗余边(弦), 这些边是构成原图中回路的关键。生成树正是通过删除这类冗余边得到的连通无圈图, 余树的边数就是从原图中需要删去的边数。

由此可见, 原图中回路的数量与复杂程度, 可通过余树的边数直观体现。余树边数越多, 说明原图含有的回路越多, 整体结构也越复杂。该推论精确刻画了原图、生成树与余树三者之间的边数关系, 将生成树与原图的结构特征紧密关联。

2) 加权图与最小生成树(MST)

定义 8.3: 带权图及其生成子图

设图 $G=(V,E)$, 其中 V 为顶点集, E 为边集。给图 G 的每一条边 $e \in E$, 都附加一个实数 $w(e)$, 这个实数 $w(e)$ 称为边 e 的权。

图 G 连同附加在其边上的权, 共同构成带权图, 记作 $G=(V,E,W)$, 其中 W 为边权的集合, 即 $W=\{w(e) \mid e \in E\}$ 。

设 H 是带权图 G 的生成子图, H 所有边的权之和称为 H 的权, 记作 $W(H)$, 且 $w(H) = \sum_{e \in E(H)} w(e)$ ($E(H)$ 为生成子图 H 的边集)。

定义 8.4: 最小生成树

设 $G=(V,E,W)$ 为带权连通图, 若生成树 T 满足对 G 的任意一棵生成树 T' , 都有 $W(T) \leq W(T')$, 则称 T 为 G 的最小生成树。简单来说, 最小生成树是带权图 G 中, 权值最小的生成树, 其权值为所有生成树中权值的最小值。

3) 寻找最小生成树算法-Kruskal 算法

设 $G=(V,E,W)$ 为 n 阶无向连通带权图。

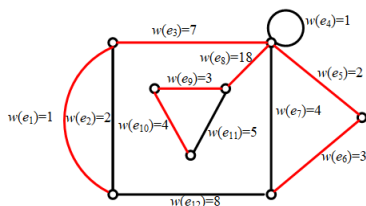
- (1) 将图 G 中不含环的所有边, 按权值从小到大排序, 记为 $w(e_1) \leq w(e_2) \leq \dots \leq w(e_m)$
- (2) 初始化生成树边集 $T \leftarrow \emptyset$, 已选边数计数器 $k \leftarrow 0$, 边的遍历序号 $i \leftarrow 1$ 。
- (3) 依次检查当前边 e_i : 若将 e_i 加入 T 后不形成回路, 则令 $T \leftarrow T \cup \{e_i\}, k \leftarrow k+1$
- (4) 若 $k < n-1$, 令 $i \leftarrow i+1$, 转回步骤 (3) 继续检查下一条边; 当 $k = n-1$ 时, 算法终止, 此时 T 即为图 G 的一棵最小生成树。

除 Kruskal 避圈法外, 寻找最小生成树还有多种经典且规范的方法: Prim 算法 (普里姆算法) 以顶点为核心, 从任意顶点出发, 每次选择权值最小且能连接当前生成树与外部顶点的边, 逐步扩展至包含所有顶点, 适合边稠密的图。

Borůvka 算法 (博罗夫卡算法) 通过合并各连通分量的最小关联边, 逐步缩小连通范围, 可并行化处理。破圈法与 Kruskal 避圈思路相反, 通过删除图中每个圈上的最大权边, 直至得到无圈且连通的生成树。

反向删除算法则按边权从大到小删除, 仅保留能维持图连通的边, 最终得到最小生成树。这些方法与 Kruskal 算法本质一致, 均以 “获取权值最小的连通无圈子图” 为核心, 可根据图的顶点密度、边的分布情况选择合适的算法。

例 8.3: 找到图的最小生成树



解: 顶点数 8 个, 因此最小生成树需要选 $8-1=7$ 条边。

(1) 边按权值升序排序 (排除自环 e_4)

权值序列: $1(e_1) \rightarrow 2(e_2) \rightarrow 2(e_5) \rightarrow 3(e_6) \rightarrow 3(e_9) \rightarrow 4(e_7) \rightarrow 4(e_{10}) \rightarrow 5(e_{11}) \rightarrow 7(e_3) \rightarrow 8(e_{12}) \rightarrow 18(e_8)$

(2) 贪心选边 (不形成环就加入, 目标选 7 条边)

初始化生成树边集 $T \leftarrow \emptyset$, 按照权值序列选边, $e_2(2)$ 、 $e_7(4)$ 、 $e_{11}(5)$ 、 $e_{12}(8)$ 会与 T 中已选中的边形成环, 不加入 T , 最终结果选定的边集为 $\{e_1, e_5, e_6, e_9, e_{10}, e_3, e_8\}$ 。

总权值和 $W(T) = 1+2+3+3+4+7+18 = 38$ 。

例 8.4: 某电信公司有如图所示的光纤网络覆盖需求。图中给出了建筑物之间可能铺设的光缆线路及其长度 (单位: 米)。

问题: 在必须保证整个网络连通的前提下, 应如何选择光缆线路, 才能使光缆总长度最短?

8.2.1 有根树及其分类

1) 根树的定义

定义 8.5: 有向树

一个有向图，如果略去方向后是一棵无向树，就称为一棵有向树。

定义 8.6: 根树与树根

有一个顶点入度为 0, 其余的入度均为 1 的非平凡的有向树称为根树，这个入度为 0 的顶点称为树根。

定义 8.7: 树叶、内点与分支点

有向树中入度为 1, 出度为 0 的顶点称为树叶；

有向树中入度为 1, 出度 ≥ 1 的顶点称为内点；

根与所有内点统称为分支点。

定义 8.8: 层数与树高

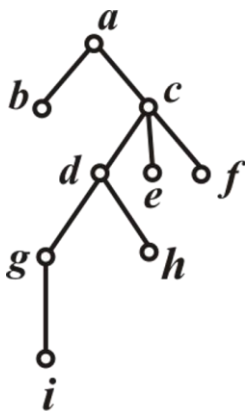
顶点 v 的层数是从树根到 v 的通路长度；

有向树中顶点的最大层数称为树高。

2) 根树的画法

根树的画法没有强制的几何坐标标准，根在上、边向下、同层对齐、箭头可省，自上而下的画法是约定俗成的标准形式，自左向右画法（横向树）、带箭头严格画法和嵌套层次画法（缩进表示法）也是可选方法。

例 8.5: 分析树的结构



解: 在树中， a 是树根， b, e, f, h, i 是树叶， c, d, g 是内点， a, c, d, g 是分支点。

a 为 0 层，1 层有 b, c ，2 层有 d, e, f ，3 层有 g, h ，4 层有 i ，树高为 4。

家族树是将根树结构直接应用于层次关系描述的典型模型。它借用亲属关系术语（根为祖先、分支点为父辈、树叶为后代等），把抽象的根树转化为直观、易理解的家谱式结构，用于清晰表达顶点之间的从属、辈分与层级关系。这种应用视角极大简化了对根树中路径、层数、祖先后代、父子兄弟等概念的理解与交流，让根树从纯数学结构落地为可直接使用的实用模型。

3) 有序树与无序树

树按子节点是否有固定左右顺序分为无序树和有序树，无序树只关心父子结构，不关心兄弟节点谁左谁右，调换子节点位置，仍视为同一棵树。有序树每个节点的子节点规定从左到右的次序，调换子节点位置，视为不同的树。二叉树、表达式树、语法树都属于有序树。

4) 根树的分类

根据根树中节点和子节点数、子节点的顺序性、树的规则性以及树的完全性对根树进行了细分。

r 元树(r 叉树): 若一棵根树中, 每个分支点至多有 r 个儿子, 则称该根树为 r 元树。

r 元正则树(满 r 叉树): 若一棵根树中, 每个分支点恰好有 r 个儿子, 则称该根树为 r 元正则树。

r 元完全正则树(完美 r 叉树): 若一棵根树满足: ①是 r 元正则树; ②所有树叶的层数都相同; 则称该根树为 r 元完全正则树。

r 元有序树: 若一棵 r 元树是有序根树, 则称其为 r 元有序树。

r 元正则有序树: 若一棵 r 元正则树是有序根树, 则称其为 r 元正则有序树。

r 元完全正则有序树: 若一棵 r 元完全正则树是有序根树, 则称其为 r 元完全正则有序树。

8.2.2 最优树与霍夫曼算法

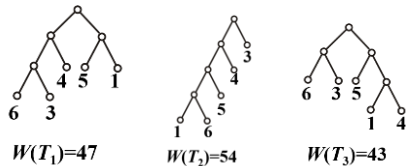
最优二叉树(最优树/哈夫曼树)是带权叶子节点构造的二叉树中, 带权路径长度 WPL 最小的树。在编码应用中, 最优二叉树可使电文总长最短、传输效率最高; 在无损压缩算法设计中, 能够减少文件存储体积; 在决策、判断、称重等问题中, 可使平均比较次数与执行代价达到最小。

1) 最优二叉树

定义 8.9: 最优二叉树

设二元树 T 有 t 片树叶 v_1, v_2, \dots, v_t , 其权分别为 w_1, w_2, \dots, w_t 。称 $W(t) = \sum_{i=1}^t w_i l(v_i)$ 为 T 的带权路径长度(权), 其中 $l(v_i)$ 是树叶 v_i 的层数。在所有具有 t 片带权树叶 w_1, w_2, \dots, w_t 的二叉树中, 带权路径长度最小的二叉树称为最优二叉树(也称为哈夫曼树)。

例如, 下图中, $W(T_3)=43$ 为二元树 T 的最优二叉树。



2) 最优二元树构造算法与静态哈夫曼前缀码

算法 8.2: 最优二元树构造算法(哈夫曼算法)

给定一组互不相同的实数权值 w_1, w_2, \dots, w_t , 构造以这些权值为叶子结点、带权路径长度 WPL 最小的最优二元树。

算法步骤:

- (1) 根据给定权值, 生成 t 个孤立叶子结点, 构成初始森林。
- (2) 在当前森林所有结点中, 选取权值最小的两个结点。

(3) 新建一个父分支结点，将选出的两个结点作为该结点的左右子结点，新结点权值等于两个子结点权值之和。

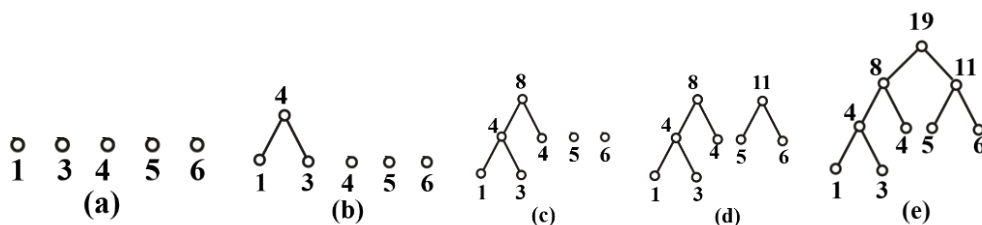
(4) 将新建分支结点加入森林，移除原来两个被合并的结点。

(5) 重复步骤 (2) ~ (4)，直到森林中仅剩下一棵二叉树、一个根结点为止。

对哈夫曼算法构造出的最优二元树从根到叶，左 0 右 1 依次取值，可生成无前缀性质的静态哈夫曼前缀码。在字符权值（出现频率）预先已知且固定不变的条件下，该算法构造的最优二元树带权路径长度最小，对应编码平均码长达到最优最短。静态哈夫曼前缀码广泛应用于文件无损压缩、图像传输、网络数据通信等领域。

例 8.6: 求以 1,3,4,5,6 为权的最优 2 叉树，并计算它的权。

解: (a)到(e)是哈夫曼算法的计算过程， $W(T)=4+8+11+19=42$ 。



8.2.3 最优前缀码

在二进制编码传输中，普通不等长编码易出现前缀重叠，导致译码歧义。等长编码又容易造成码元冗余、传输效率低下。为了使编码无歧义且整体平均码长最短，信息编码理论引入前缀码与最优前缀码理论。该理论证明了静态哈夫曼前缀码是全局平均码长最短的编码，在所有合法前缀码中性能达到最优。

1) 前缀码与二进制前缀码

定义 8.10: 前缀码与二进制前缀码

设 $\beta = \alpha_1 \alpha_2 \dots \alpha_{n-1} \alpha_n$ 是长度为 n 的符号串，称 $\alpha_1 \alpha_2 \dots \alpha_j$ ($1 \leq j \leq n$) 为符号串 β 的前缀。

若非空符号串集 $B = \{\beta_1, \beta_2, \dots, \beta_m\}$ 中任意两个符号串 β_i, β_j ($i \neq j$) 互不为前缀，则称 B 为前缀码。

若前缀码中每一位符号仅取自集合 $\{0,1\}$ ，则称该前缀码为二元前缀码。

二元前缀码对应二叉树编码，从根到叶路径唯一，无译码歧义。

例如， $\{0,10,110,1111\}$, $\{10,01,001,110\}$ 是 2 元前缀码； $\{0,10,010,1010\}$ 不是前缀码，符号串 0 是 010 的前缀，符号串 10 是 1010 的前缀，集合内存在互为前缀的元素，不满足前缀码定义。

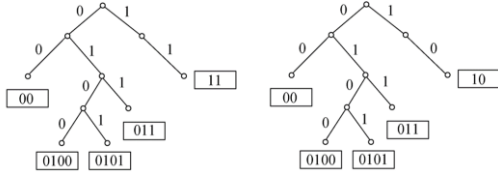
2) 二叉树与二元前缀码

任意一棵二叉树均可构造一组二元前缀码：

- (1) 对二叉树分支结点，左分支标记 0，右分支标记 1；
- (2) 仅有一条出边的单分支结点，该边可任意标记 0 或 1；
- (3) 从根结点到每一片叶子结点的路径标号依次拼接，所得二进制符号串集合，即为二元前缀码。

由二叉树生成的编码，叶子结点路径互不包含，因此集合内任意符号串互不互为前缀，天然满足前缀码定义。

例如：由下面二叉树可得前缀码{00,11,011,0100,0101}、{00,10,011,0100,0101}，均为合法二元前缀码。



同理，任意一组二元前缀码，也都可以对应一棵二叉树。

3) 最优前缀码

定义 8.11: 最优二元前缀码

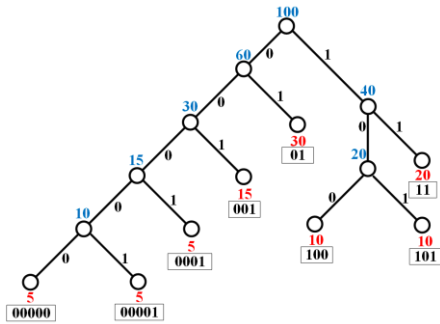
设字符集各字符对应权值（出现频率）为 w_1, w_2, \dots, w_m ，对应二元前缀码码长为 l_1, l_2, \dots, l_m 。在所有合法二元前缀码中，使得平均码长 $L = \sum_{i=1}^m w_i l_i$ 取得最小值的二元前缀码，称为最优二元前缀码。

例 8.7: 在通信中,设八进制数字出现的频率(%)如下: 0: 30, 1: 20, 2: 15, 3: 10, 4: 10, 5: 5, 6: 5, 7: 5。采用 2 元前缀码, 求传输数字最少的 2 元前缀码 (称作最佳前缀码), 并求传输 10000 个按上述比例出现的八进制数字需要多少个二进制数字? 若用等长的 (长为 3) 的码字传输需要多少个二进制数字?

解:

(1) 用 Huffman 算法求以频率(乘以 100)为权的最优 2 元树。设

$w_1=5, w_2=5, w_3=5, w_4=10, w_5=10, w_6=15, w_7=20, w_8=30$ 。



(2) 最优 2 元树与八进制编码对应

哈夫曼树左支标 0, 右支标 1, 从树根走到叶子结点, 一串 01 就是该八进制数的最优前缀码。使用频率越高的八进制数离根越近, 其码长越短。

八进制数	0	1	2	3	4	5	6	7
使用频率	30%	20%	15%	10%	10%	5%	5%	5%
哈夫曼编码	01	11	001	100	101	0001	00001	00000
编码长度	2	2	3	3	3	4	5	5

定长编码	000	001	010	011	100	101	110	111
------	-----	-----	-----	-----	-----	-----	-----	-----

(3) 根据给定的频率分布, 计算传输 10000 位八进制数字所需的二进制位数:

计算加权平均码长 $L=0.3 \times 2 + 0.2 \times 2 + 0.15 \times 3 + 0.1 \times 3 + 0.1 \times 3 + 0.05 \times 4 + 0.05 \times 5 + 0.05 \times 5 = 2.75$;

传输 10000 个数字

采用哈夫曼码: $10000 \times 2.65 = 26500$ 位二进制

采用等长 3 位码: $10000 \times 3 = 30000$ 位二进制

采用最优前缀码节省的位数: $30000 - 27500 = 2500$, 约占 8.33%。

8.2.4 有根树的遍历及其应用

有根树用来描述具有层次从属、分支递归关系的非线性离散结构模型, 常用于因果推理、决策分类、嵌套算术表达式、文件目录结构、程序递归调用、层级组织结构等场景。有根树遍历的意义是将非线性树形结构转化为一维线性有序序列, 按照规定次序不重复、不遗漏地访问所有节点, 从而实现树的查询、数值计算、结构还原与拓扑分析。

1) 二叉树的遍历方法

二叉树是特殊的二元有序有根树, 树中每个结点至多拥有左、右两个子结点, 且严格区分左子树与右子树, 左右次序不可随意交换。通过二叉树的前序、中序、后序遍历, 可实现表达式求值、有序数据检索、树形结构存储与层次化数据处理, 是离散数学与数据结构中最基础、应用最广泛的树形模型。

定义 8.12: 二叉树遍历

系统地访问二叉树的每一个顶点, 且每个顶点恰好只被访问一次的有序访问过程, 称为二叉树遍历。

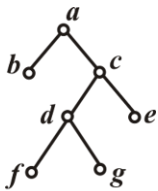
定义 8.13: 二叉树的三种递归遍历次序

(1) 前序遍历: 先访问根结点, 再递归遍历左子树, 最后递归遍历右子树。

(2) 中序遍历: 先递归遍历左子树, 再访问根结点, 最后递归遍历右子树。

(3) 后序遍历: 先递归遍历左子树, 再递归遍历右子树, 最后访问根结点。

例如, 二叉树



的遍历结果如下:

(1) 前序遍历: $a(b)(c(d(f)(g)))(e)$, 得到序列: a,b,c,d,f,g,e

(2) 中序遍历: $(b)a((f)d(g))c(e)$, 得到序列: b,a,f,d,g,c,e

(3) 后序遍历: $(b)((f)(g)d)(e)c a$, 得到序列: b,f,g,d,e,c,a

圆括号嵌套清晰划分每一棵子树, 严格对应递归遍历规则。

2) 算术表达式二叉树构造规则

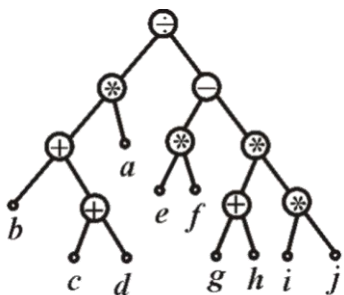
表达式树是将算术运算嵌套结构, 转化为递归有序二叉树结构, 通过二叉树遍历完成表达式与前缀 / 中缀 / 后缀式的相互转换与求值运算。

定义 8.14: 算术表达式二叉树递归构造规则

算术表达式二叉树是满足以下递归条件的二叉树:

- (1) 所有参与运算的常数、变量, 均放置在树的叶子结点上。
- (2) 表达式所有运算符均放置在树的内部分支结点。
- (3) 二元运算符对应的结点, 恰有左右 2 个子结点, 左子树对应左运算分量, 右子树对应右运算分量。减法、除法运算中, 被减数、被除数固定位于左子树。
- (4) 一元运算符对应的结点, 仅有唯一子结点, 该子结点为根的子树即为该运算符对应的运算分量。

例如, 下图是表示算式 $((b+(c+d))*a)\div((e*f)-(g+h)*(i*j))$ 的二叉树, 该二叉有序树的中序遍历结果是原算式。

**3) 波兰符号法和逆波兰符号法**

为解决二叉树遍历生成的中缀表达式存在歧义、前序遍历序列运算低效的问题, 使表达式符号序列在计算机编译系统自动处理中消除歧义、提高实现效率、降低存储资源需求, 由波兰数学家扬·卢卡西维茨提出的波兰(前缀)符号法, 及澳大利亚计算机科学家查尔斯·哈姆林改进的逆波兰(后缀)符号法, 共同成为适合计算机处理的表达式规范。

波兰/逆波兰符号从计算机易于处理的视角表示算术表达式符号序列, 二叉树遍历是生成波兰/逆波兰符号的标准路径。

定义 8.15: 波兰符号法(前缀符号法)

波兰符号法是一种无括号的算术与逻辑表达式表示体系, 其核心规则基于“运算符前置”的固定顺序:

- (1) 单个运算对象(常数、变量或原子命题)本身即构成一个合法的波兰符号表达式。
- (2) 若 \star 是二元运算符(如 $+$ 、 $-$ 、 \times 、 \div 、 \wedge 、 \vee), E_1 和 E_2 分别是波兰符号表达式, 则 “ $\star E_1 E_2$ ” 也是合法的波兰符号表达式, 其中 E_1 对应左运算分量, E_2 对应右运算分量。
- (3) 若 \neg 是一元运算符(如否定、平方根), E 是波兰符号表达式, 则 “ $\neg E$ ” 是合法的波兰符号表达式。
- (4) 该符号法的表达式序列与算术/逻辑表达式二叉树的前序遍历结果完全一致, 通过固定的“运算符-运算对象”顺序, 无需额外括号即可唯一确定运算优先级与结合顺序。

定义 8.16: 逆波兰符号法(后缀符号法)

逆波兰符号法是波兰符号法的改进形式, 核心特征为“运算符后置”, 是计算机系统中高效处理表达式的标准格式:

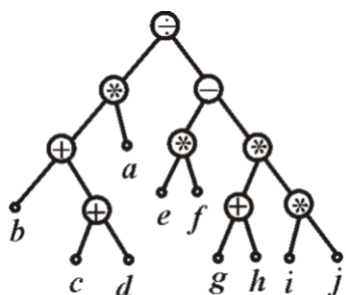
(1) 单个运算对象（常数、变量或原子命题）本身即构成一个合法的逆波兰符号表达式。

(2) 若 \star 是二元运算符（如 $+$ 、 $-$ 、 \times 、 \div 、 \wedge 、 \vee ）， E_1 和 E_2 分别是逆波兰符号表达式，则 “ $E_1 E_2 \star$ ” 也是合法的逆波兰符号表达式，其中 E_1 （左运算分量）、 E_2 （右运算分量）的顺序固定，适配减法、除法等非交换运算。

(3) 若 \neg 是一元运算符（如否定、平方根）， E 是逆波兰符号表达式，则 “ $E \neg$ ” 是合法的逆波兰符号表达式。

(4) 该符号法的表达式序列与算术 / 逻辑表达式二叉树的后序遍历结果完全一致，可通过 “顺序扫描 + 栈结构” 实现无歧义快速求值，是编译器、计算器底层运算的核心表达式规范。

例如：图



所示表达式的波兰式与逆波兰式如下：

波兰表达式（前缀表达式）： $\div * + b + c d a - * e f + g h * i j$

逆波兰表达式（后缀表达式）： $b c d + + a * e f * g h + i j * * - \div$

波兰/逆波兰表达式的计算机处理方法：

对于波兰式表示的表达式，运算从根节点开始——先遇到运算符，再遇到对应的操作数。

对于逆波兰式表达式，运算从叶子节点开始，逐层向上计算，直至根节点。

知识扩展提示词

1. 树的等价刻画定理（六个等价命题）每一个都在完整的定义树吗？
2. 破圈法与 Kruskal 避圈都是寻找最小生成树算法，二者的主要区别在哪里？

第 8 章主要数学符号列表

序号	符号	含义	示例
1	\bar{T}	生成树 T 的余树	\bar{T} 由生成树 T 的全体弦构成的边集所导出的子图
2	$G = \langle V, E, W \rangle$	带权图 G	W 为边权的集合 $W = \{ w(e) \mid e \in E \}$